

一、生物技術之開發與應用

基因轉殖木瓜多重聚合酵素鏈鎖反應檢測技術之建立

沈榆祖

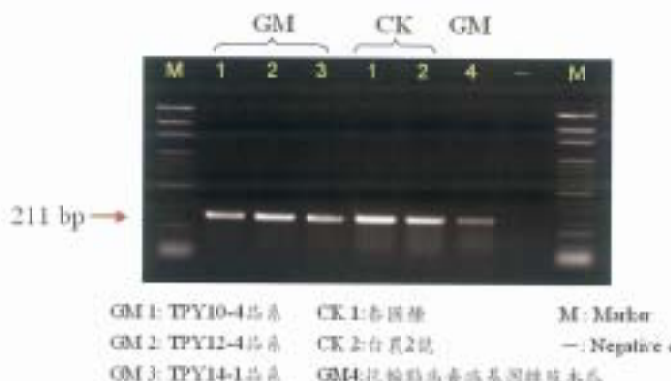


圖1-1、「雙重抗木瓜輪點病毒及木瓜鱗葉嵌紋病毒性狀基因轉殖木瓜」三個品系TPY10-4、TPY12-4、TPY14-1與「抗輪點病毒病基因轉殖木瓜」檢測木瓜特有的Papain gene。GM為基因轉殖木瓜，CK為非基因轉殖木瓜，-為空白試驗

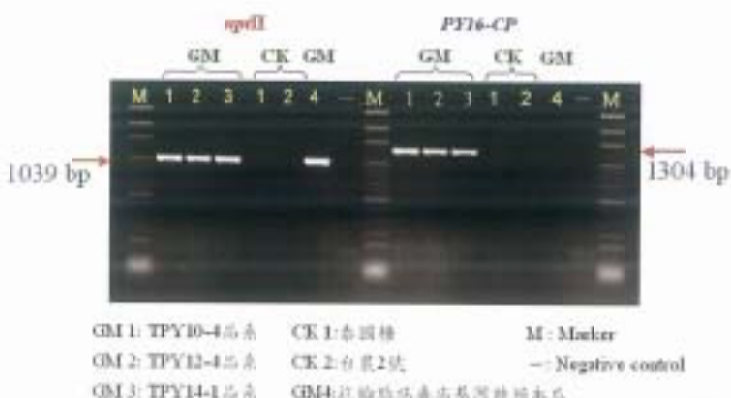


圖1-2、「雙重抗木瓜輪點病毒及木瓜鱗葉嵌紋病毒性狀基因轉殖木瓜」三個品系TPY10-4、TPY12-4、TPY14-1與「抗輪點病毒病基因轉殖木瓜」檢測 nptII gene 與 PY16-CP gene。GM為基因轉殖木瓜，CK為非基因轉殖木瓜，-為空白試驗

基因轉殖木瓜包括「轉殖抗輪點病毒病鞘蛋白基因木瓜」與「雙重抗木瓜輪點病毒及木瓜鱗葉嵌紋病毒性狀基因轉殖木瓜」，建立其鑑別基因轉殖木瓜之檢測能

力與多重聚合酵素鏈鎖反應 (multiplex PCR) 技術，可提高檢測效率。其中為確保檢體DNA品質合乎要求，檢測木瓜Papain gene 作內部對照，PCR 增幅產物大小為211 bp；檢測龍檢標誌nptII 基因，PCR 增幅為1039 bp；檢測雙重抗木瓜輪點病毒及木瓜鱗葉嵌紋病毒性狀基因轉殖木瓜PRSV與PLDMV鞘蛋白的基因 (合稱為PY16-CP gene)，PCR 增幅產物為1304 bp；檢測抗輪點病毒病基因轉殖木瓜PRSV 鞘蛋白的基因 (PRSV-CP gene)，其PCR 增幅產物大小為537bp。多重聚合酵素鏈鎖反應技術可同時檢出nptII gene與papain gene；亦可同時檢出PRSV-CP gene與papain gene。以及可同時檢出雙抗木瓜PY16-CP gene與papain gene。

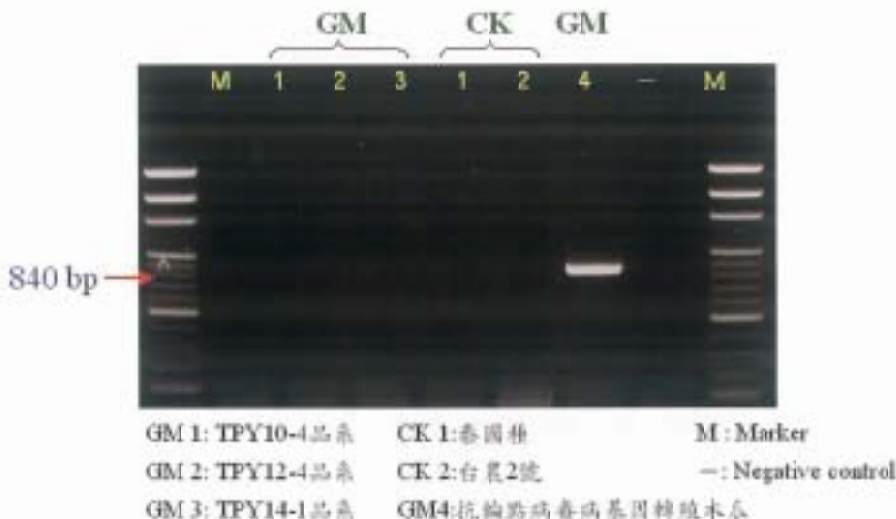


圖1-3、「雙重抗木瓜輪點病毒及木瓜跨葉嵌紋病毒性狀基因轉殖木瓜」三個品系TPY10-4、TPY12-4、TPY14-1與「抗輪點病毒病基因轉殖木瓜」檢測 PRSV-CP gene。GM為基因轉殖木瓜，CK為非基因轉殖木瓜，-為空白試驗

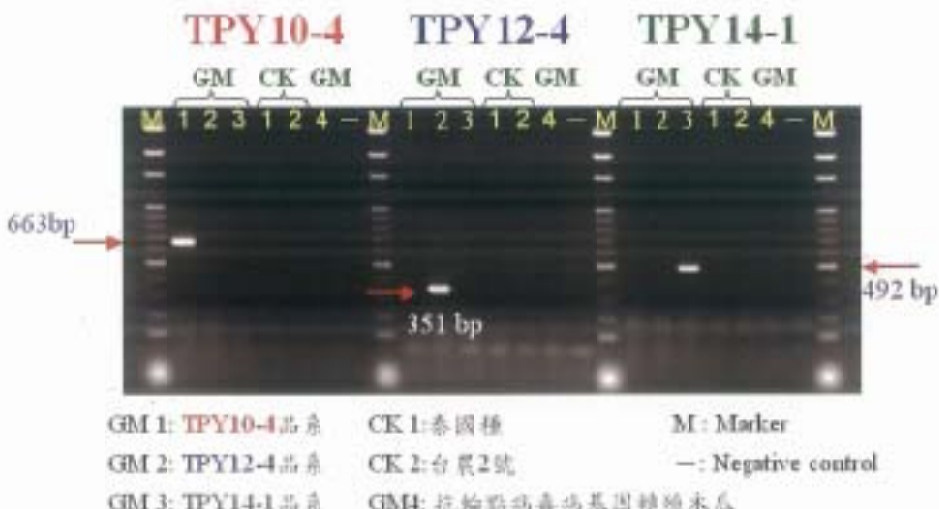


圖1-4、「雙重抗木瓜輪點病毒及木瓜跨葉嵌紋病毒性狀基因轉殖木瓜」三個品系TPY10-4、TPY12-4、TPY14-1與「抗輪點病毒病基因轉殖木瓜」分別檢測 TPY10-4、TPY12-4、TPY14-1專一性片段。GM為基因轉殖木瓜，CK為非基因轉殖木瓜，-為空白試驗

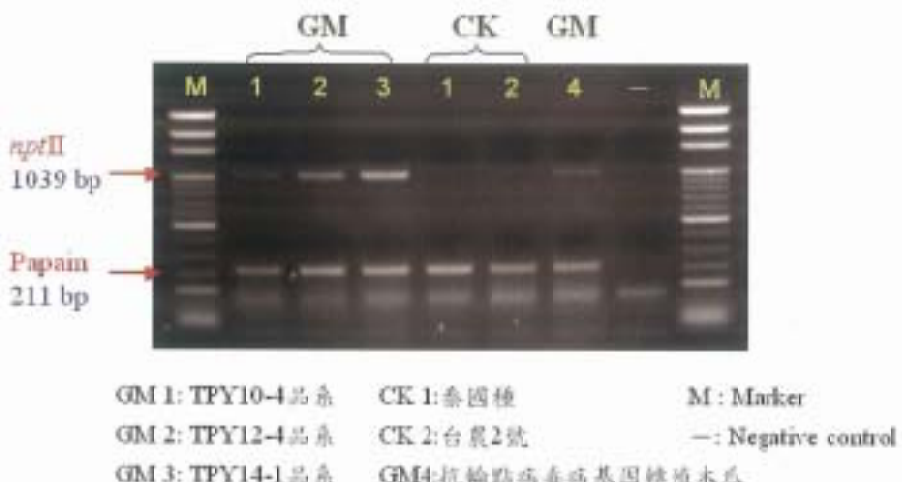


圖1-5、「轉殖抗輪點病毒病鞘蛋白基因木瓜」與「雙重抗木瓜輪點病毒及木瓜崎葉嵌紋病毒性狀基因轉殖木瓜」針對節檢標誌*nptII* gene與papain gene，利用專一性引子進行多重聚合酶鏈鎖反應 (multiple PCR)，可同時檢出*nptII* gene預期之1039bp，與papain gene預期之211bp片段。GM為基因轉殖木瓜，CK為非基因轉殖木瓜，-為空白試驗。

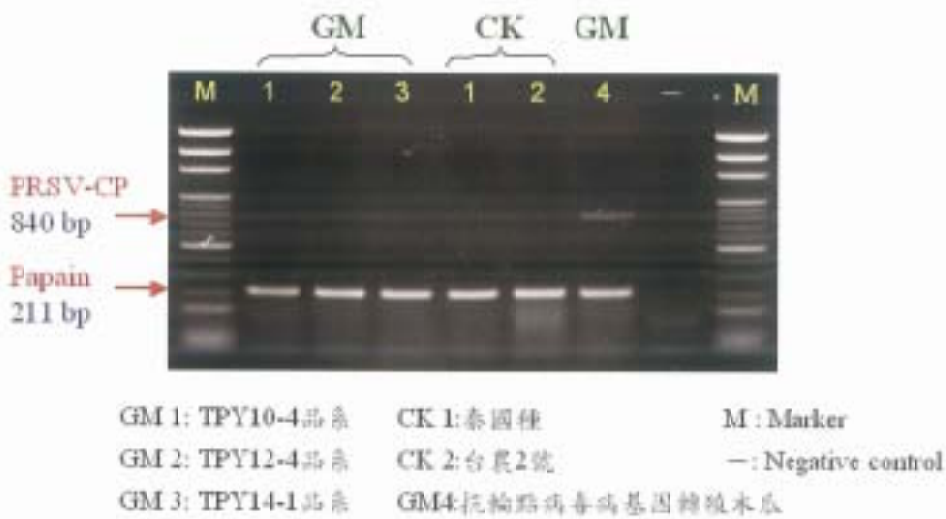


圖1-6、「轉殖抗輪點病毒病鞘蛋白基因木瓜」與「雙重抗木瓜輪點病毒及木瓜崎葉嵌紋病毒性狀基因轉殖木瓜」針對目標基因 (木瓜輪點病毒外鞘蛋白基因, PRSV-CP gene) 與papain gene，利用專一性引子進行多重聚合酶鏈鎖反應 (multiple PCR)，可同時檢出PRSV-CP gene預期之340bp，與papain gene之211bp片段。GM為基因轉殖木瓜，CK為非基因轉殖木瓜，-為空白試驗。

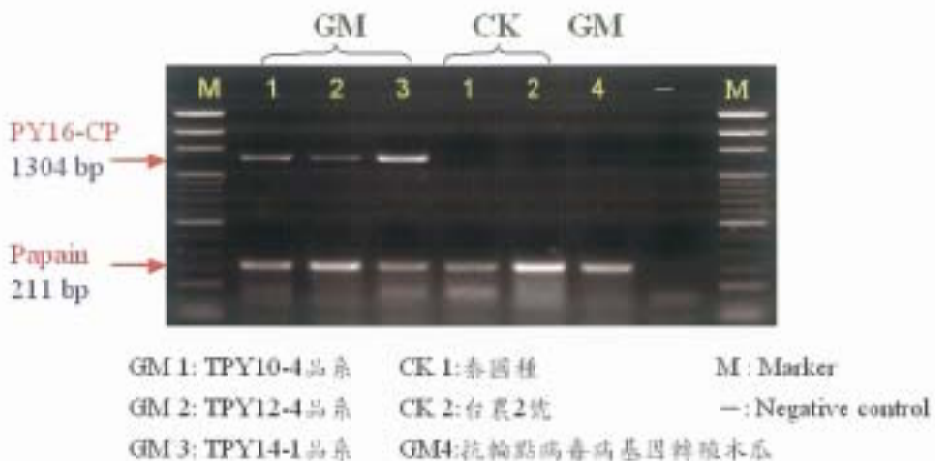


圖1-7、「轉殖抗輪點病毒病蛋白基因木瓜」與「雙重抗木瓜輪點病毒及木瓜闊葉嵌紋病毒性狀基因轉殖木瓜」針對目標基因（木瓜輪點病毒外殼蛋白基因，*PY16-CP* gene）與*papain* gene，利用專一性引子進行多重聚合酶鏈鎖反應（multiple PCR），可同時檢出*PY16-CP* gene預期之1304bp，與*papain* gene預期之211bp片段。GM為基因轉殖木瓜，CK為非基因轉殖木瓜，-為空白試驗。

二 作物品種指紋分析系統之建立與應用—作物特定性狀分子標誌之建立

莊淑貞、孫永偉、張義弘、陳駿李

本試驗以多組單雌結果性及非單雌結果性之全雌株為材料，初步篩選有用引子（參試引子共有UBC 1-500, operon A-C, SE 1-100 (吉恩馬克)，等RAPD-引子共660組及GA-IAA-primer-14組）共篩選出47組引子 (op-8組, ubc-35組, s-4組) 具多型性引子。有17條RAPDs在各個材料表現不同的出現比率，顯示胡瓜具有不同程度的單雌結果性表現。苦瓜兩性株與全雌株之比較，係利用RAPD及AFLP方式篩選有用引子。結果顯示RAPD方式無法找出兩性

株或全雌株特異性之分子標誌，目前從AFLP方式以篩選數組特異性分子標誌，待進一步解序並設計專一性引子確認之（圖1-8、1-9）。

三 木瓜性別及花器分化相關基因選殖

李美娟

已選殖出之番木瓜花器分化基因 *CpMADS1*、*CpMADS2*、*CpMADS3*進行DNA親緣及RNA層次之基因分析。*CpMADS1*、*CpMADS3*氨基酸1-60區為MADS-box domain，80-170區氨基酸為K-box domain。*CpMADS2*氨基酸1-60區為

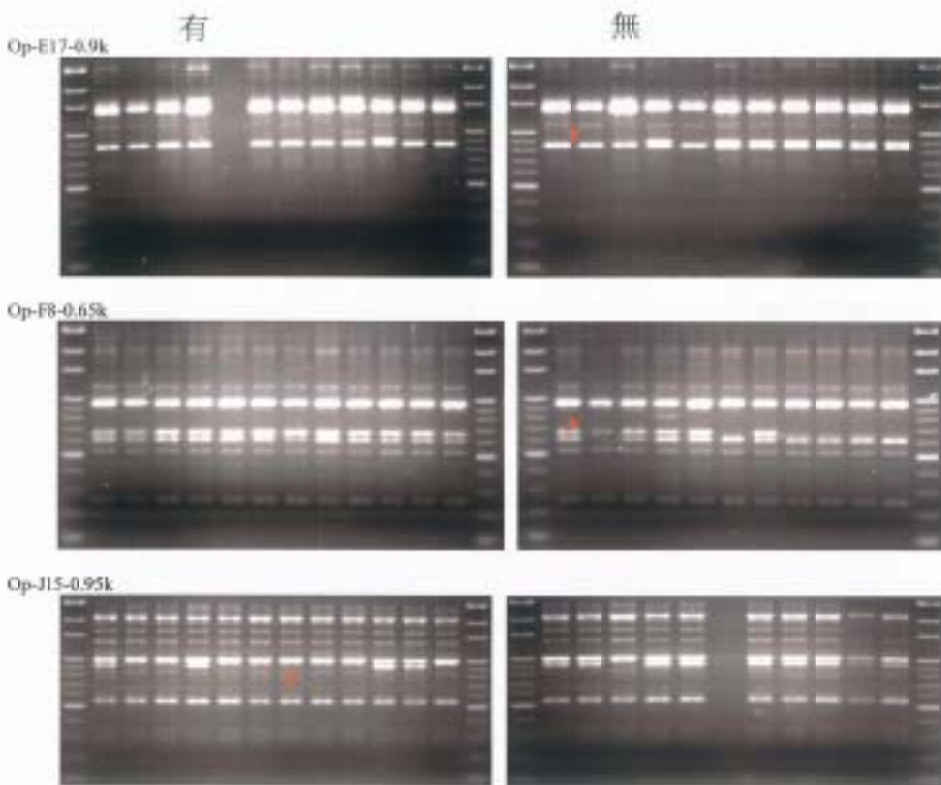


圖1-8、進一步複譜胡瓜多型性識別標誌，在有單偽及無單偽的表現情形

MADS-box domain，70-170區氨基酸為K-box domain + real-time PCR組織分析結果，3花器分化基因都專一性地表現在花芽及花朵器官，於營養組織根、莖、葉偵測不到此3花器分化基因之表現。將花器基因構築於農桿菌中，以農桿菌轉殖方法轉至煙草中，已得到擬轉殖株。以木瓜體蛋白質二維電泳分析不同性別之木瓜，也已建立不同遺傳背景之鑑別品系5種及電泳分析之方法(表1-1，圖1-10)。

► 圖1-9、不同花性苦瓜進行AFLP (E-ACT/M-CTA)反應之電泳結果

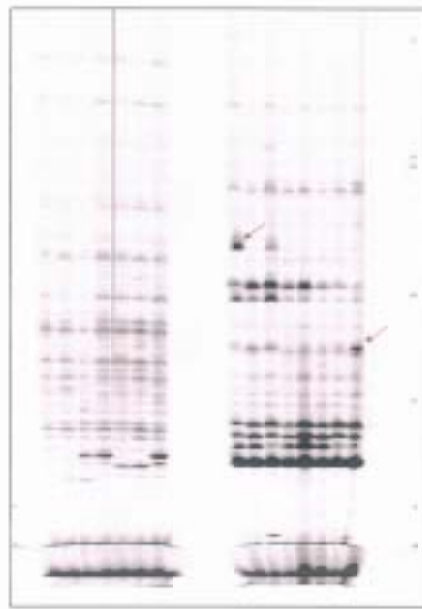
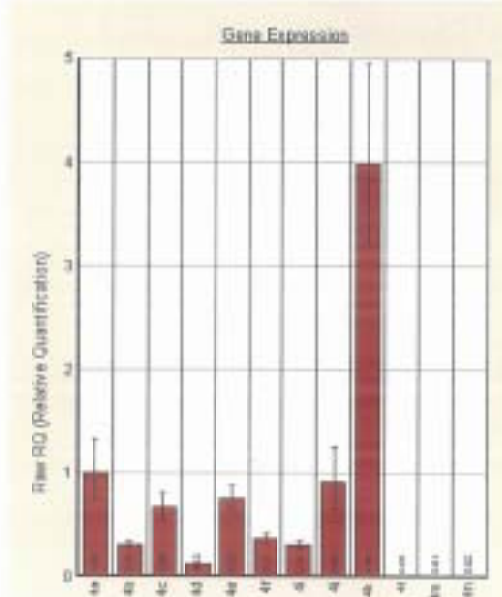


表1-1、*CpMADS1*基因於木瓜台農2號兩性株之real-time PCR組織分析

Sample	Target Average C _T	Papain Average C _T	Δ C _T Target-Papain ^a	Δ Δ C _T Δ C _T -Δ C _T _{ref} ^b	Rel. to a
4a(1-1)	24.00±0.03	25.90±0.12	-1.89±0.13	0.00±0.13	1
4b(1-2)	24.45±0.04	24.67±0.03	-0.21±0.05	1.67±0.05	0.31
4c(1-3)	23.92±0.04	25.26±0.07	-1.33±0.09	0.56±0.09	0.67
4d(2)	21.79±0.08	20.68±0.04	1.11±0.09	3.01±0.09	0.12
4e(3)	24.51±0.04	26.02±0.04	-1.50±0.06	0.39±0.06	0.76
4f(4)	24.77±0.03	25.24±0.04	-0.47±0.05	1.42±0.05	0.37
4i(葉)	24.32±0.05	24.51±0.02	-0.19±0.06	1.70±0.06	0.30
4j(莖葉)	22.07±0.02	23.84±0.14	-1.76±0.14	0.12±0.14	0.91
4k(莖葉)	22.40±0.05	26.29±0.08	-3.89±0.09	-1.99±0.09	3.99
4l(根)	33.36±0.16	27.57±0.02	5.79±0.16	7.69±0.16	0.005
4m(莖)	31.63±0.08	27.06±0.04	4.56±0.09	6.46±0.09	0.01
4n(葉)	31.55±0.05	27.42±0.13	4.12±0.14	6.01±0.14	0.01

圖1-10、*CpMADS1*基因於木瓜台農2號兩性株之real-time PCR組織分析

四 辣椒雄不穩基因分子標誌之建立

李美娟

利用番椒細胞質雄不穩相關蛋白基因序列設計引子組CMSP1、CMSP2，可正確地鑑定出番椒細胞質雄不穩品系。且分析出雄不穩DNA片段與粒線體coxII基因(DQ126683.1；Cap.coxII)，及番椒細胞質雄不穩相關蛋白基因序列(DQ116040；Cap.cms)有關，且顯示番椒粒線體上Cap.coxII與Cap.cms相連。另以番椒CRF引子可專一地於G6、A5(SRFRF)擴增出預期870bp之DNA條帶，故以此引子可成功鑑別具雄不穩性回復基因之番椒品系。

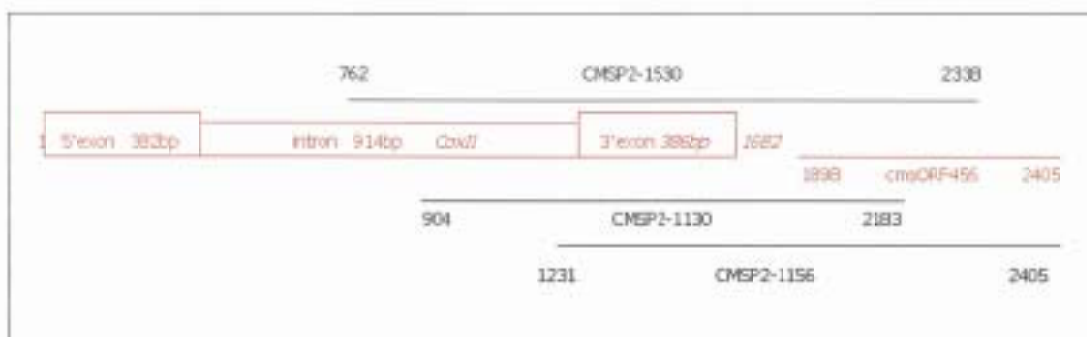


圖1-11、番椒葉片基因組DNA以CMSP2引子組擴增出之DNA片段與番椒coxI、cms (ORF456) 相關蛋白基因之序列比對示意圖

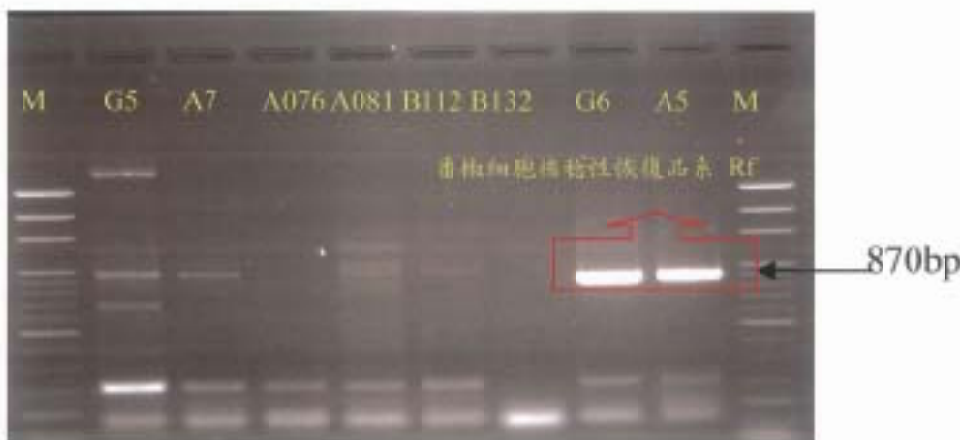


圖1-12、番椒葉片萃取DNA擴增出之細胞核雌性恢復品系可擴增出約870bp之DNA條帶。G5、A7、A076、及A081的基因型為Srf rf，G6及A5的基因型為SRf Rf；B112及B132的基因型為Nrf rf